

Лазерный гироскоп с четырехзеркальным квадратным резонатором: количественная оценка зависимости параметров зоны синхронизации частот встречных волн от усиления активной среды

Е.А.Бондаренко

Для лазерного гироскопа с четырехзеркальным квадратным резонатором (с периметром 20 см) на основе разработанной нами ранее (см. Бондаренко Е.А. Квантовая электроника, 41, 824 (2011)) модели выполнены расчеты зависимости параметров зоны синхронизации частот встречных волн от усиления активной среды. Полученные результаты качественно согласуются с известными экспериментальными данными для гироскопов с трехзеркальными резонаторами.

Ключевые слова: лазерный гироскоп, кольцевой газовый лазер, синхронизация частот встречных волн.

1. Введение

Среди основных типов лазерных гироскопов (ЛГ), широко применяемых на практике, можно выделить прибор на базе кольцевого газового He–Ne-лазера (отношение концентраций изотопов $^{20}\text{Ne}:^{22}\text{Ne} = 1:1$) с плоским N -зеркальным ($N = 3, 4$) резонатором, обеспечивающим генерацию линейно поляризованного в сагиттальной плоскости излучения. Накачка лазера, работающего, как правило, на длине волны $\lambda = 0.6328$ мкм, осуществляется рядом постоянного тока по симметричной схеме один катод–два анода [1–3].

Согласно соотношениям (5.55)–(5.57) из работы [3], а также выражениям (6.45)–(6.47) из работы [4], при сбалансированности токов в плечах разряда, точной настройке резонатора на центр линии излучения и одинаковых потерях систему уравнений, описывающих динамику безразмерных интенсивностей I_j ($j = 1, 2$) и разности фаз ψ встречных волн (ВВ) такого ЛГ, можно представить в виде

$$\begin{aligned} \dot{I}_1 &= (\alpha - \beta I_1 - \theta I_2) I_1 - 2r_2 \sqrt{I_1 I_2} \cos(\psi + \varepsilon_2), \\ \dot{I}_2 &= (\alpha - \beta I_2 - \theta I_1) I_2 - 2r_1 \sqrt{I_1 I_2} \cos(\psi - \varepsilon_1), \\ \dot{\psi} &= M\Omega + r_2 \sqrt{I_2/I_1} \sin(\psi + \varepsilon_2) + r_1 \sqrt{I_1/I_2} \sin(\psi - \varepsilon_1). \end{aligned} \quad (1)$$

При выводе этих уравнений учтено, что волна с индексом $j = 1$ распространяется в направлении вращения ЛГ. В системе (1) α, β, θ – коэффициенты Лэмба, характеризующие свойства активной среды; $M = (1 + K_a)M_g$ – масштабный множитель ЛГ, определяемый в первую очередь своей геометрической составляющей $M_g = 8\pi S/(\lambda L)$, однако учитывающий также и свойства среды посредством малого

параметра K_a ; L – периметр осевого контура; S – охватываемая им площадь; Ω – угловая скорость вращения прибора в инерциальном пространстве; r_j и ε_j – модули и аргументы комплексных интегральных коэффициентов $r_j \exp(i\varepsilon_j)$ линейной связи ВВ, характеризующих их взаимодействие через обратное рассеяние, поглощение и пропускание излучения на зеркалах. (Соотношения для расчета параметров α, β и θ можно найти, например, в работе [5], а параметра K_a – в [6]. В [3] приведена эмпирическая формула для расчета K_a . Кроме того, набор выражений для оценки всех названных величин – $\alpha, \beta, \theta, K_a, r_j, \varepsilon_j$ – предложен в [7]. Эти выражения применимы для случая, когда ЛГ работает при суммарных давлениях смеси He–Ne от 1 до 5–6 Тор, а его резонатор имеет форму равностороннего треугольника или квадрата.)

В работе [8] на основе анализа системы (1) были получены формулы для расчета параметров зоны синхронизации частот генерируемых в ЛГ встречных электромагнитных волн. Такими параметрами являются координаты $\Omega_{(-)}$ и $\Omega_{(+)}$ соответственно левой и правой границ зоны синхронизации на оси угловой скорости Ω , координата ее центра $\Omega_{(0)} = (\Omega_{(+)} + \Omega_{(-)})/2$ и полуширина этой зоны $\Omega_s = (\Omega_{(+)} - \Omega_{(-)})/2$. Полученные в [8] соотношения дополняют результаты ранее выполненных теоретических работ [3, 9–16] и имеют вид

$$\begin{aligned} \Omega_{(\pm)} &= \pm \frac{\sqrt{r_p^2 + \mu^2 r_m^2 \pm 2\mu(r_2^2 - r_1^2)}}{\sqrt{1 - \mu^2 M}}, \\ \Omega_{(0)} &= \frac{\sqrt{r_p^2 + \mu^2 r_m^2 + 2\mu(r_2^2 - r_1^2)} - \sqrt{r_p^2 + \mu^2 r_m^2 - 2\mu(r_2^2 - r_1^2)}}{2\sqrt{1 - \mu^2 M}}, \\ \Omega_s &= \frac{\sqrt{r_p^2 + \mu^2 r_m^2 + 2\mu(r_2^2 - r_1^2)} + \sqrt{r_p^2 + \mu^2 r_m^2 - 2\mu(r_2^2 - r_1^2)}}{2\sqrt{1 - \mu^2 M}}. \end{aligned} \quad (2)$$

С учетом реализующегося на практике условия $|r_2 - r_1| \ll (r_1 + r_2)/2$ (см., напр., [3]) выражения (2) можно записать в виде

Е.А.Бондаренко. Национальный технический университет Украины «Киевский политехнический институт», Украина, 03056 Киев, просп. Победы, 37, корп. 28; e-mail: ea_bndrk@ukr.net

Поступила в редакцию 11 декабря 2011 г., после доработки – 29 февраля 2012 г.

$$\Omega_{(\pm)} \approx \Omega_{(0)} \pm \Omega_s,$$

$$\Omega_{(0)} = \frac{\mu(r_2^2 - r_1^2)}{\sqrt{(1 - \mu^2)(r_p^2 + \mu^2 r_m^2)} M}, \quad (3)$$

$$\Omega_s = \frac{\sqrt{r_p^2 + \mu^2 r_m^2}}{\sqrt{1 - \mu^2} M},$$

где

$$\begin{aligned} r_p &= \sqrt{r_1^2 + r_2^2 + 2r_1 r_2 \cos \varepsilon_{12}}; \\ r_m &= \sqrt{r_1^2 + r_2^2 - 2r_1 r_2 \cos \varepsilon_{12}}; \quad \varepsilon_{12} = \varepsilon_1 + \varepsilon_2, \\ \mu &= \frac{2r_1 r_2 \sin \varepsilon_{12}}{\alpha_m r_p} \quad (|\mu| < 1); \\ \alpha_m &= \alpha_p \frac{1 - h}{1 + h}; \quad \alpha_p = \alpha = \frac{c}{L}(g - \Gamma); \quad h = \frac{\theta}{\beta}. \end{aligned} \quad (4)$$

Здесь r_p и r_m – комбинации параметров линейной связи ВВ; α_p и α_m – обратные времена релаксации соответственно суммы и разности интенсивностей ВВ; g – линейное ненасыщенное усиление активной среды; Γ – резонаторные потери за один проход; h – параметр, зависящий от суммарного давления смеси Не–Не [17]; μ – величина, характеризующая влияние усиления активной среды на параметры зоны синхронизации. Отметим, что выражения (2) и (3) справедливы при выполнении условия слабой связи ВВ, которое предполагает, что во всем диапазоне используемых в ЛГ рабочих токов разряда отношения r_p/α_p и r_m/α_m остаются намного меньшими единицы. В современных приборах, работающих при достаточно больших превышениях накачки над порогом [3], указанное условие, как правило, выполняется.

На основе анализа выражений (2)–(4) в работе [8] были сделаны следующие выводы:

1) в общем случае асимметричной ($r_1 \neq r_2$) линейной связи ВВ левая и правая границы зоны синхронизации частот этих волн расположены относительно начала координат на неодинаковых расстояниях ($\Omega_{(+)} \neq -\Omega_{(-)}$), вследствие чего центр зоны оказывается смещенным вдоль оси угловой скорости Ω на конечную величину $\Omega_{(0)} \neq 0$;

2) при увеличении усиления g активной среды смещение $\Omega_{(0)}$ центра зоны синхронизации и ее полуширина Ω_s уменьшаются, асимптотически приближаясь к установившимся конечным величинам

$$\Omega_{(0)}^{\text{asymp}} = 0, \quad \Omega_s^{\text{asymp}} = \frac{r_p}{M} = \frac{\sqrt{r_1^2 + r_2^2 + 2r_1 r_2 \cos \varepsilon_{12}}}{M}. \quad (5)$$

Ограничения на объем статьи [8] не позволили привести в ней результаты количественной оценки зависимости величин $\Omega_{(+)}$, $\Omega_{(-)}$, $\Omega_{(0)}$, Ω_s от усиления g активной среды для какого-либо конкретного ЛГ. Поэтому цель настоящей работы состоит в том, чтобы выполнить такую оценку для широко используемого на практике ЛГ с четырехзеркальным квадратным резонатором и сравнить (качественно) полученные результаты с известными из работ [18–21] экспериментальными данными, характерными для гироскопов с трехзеркальными резонаторами.

2. Описание ЛГ и вывод соотношений для расчета его параметров

Следуя работе [3], в качестве примера выберем ЛГ с четырехзеркальным квадратным резонатором, имеющим номинальную длину плеча $l = 50$ мм и периметр $L = 4l = 200$ мм. Согласно [3] такой прибор характеризуется полушириной зоны синхронизации $\Omega_s \approx 0.05$ °/с. Дуговая цена его импульса q_θ (разрешающая способность ЛГ по углу) составляет $2.61''$, а геометрический масштабный множитель $M_g = 496459$. Гироскоп работает при суммарном давлении Не–Не-смеси 6.5 Тор.

На основе выражений (3), (4) выполним для данного ЛГ количественную оценку величин $\Omega_{(+)}$, $\Omega_{(-)}$, $\Omega_{(0)}$, Ω_s при условии, что параметр относительного возбуждения $N_{\text{rel}} = g/\Gamma$ изменяется от 2 до 8 [3], что соответствует изменению линейного усиления g активной среды от 2Γ до 8Γ . Чтобы не приводить (вместе с комментариями) громоздких формул для расчета малого параметра K_a , а также выражений для оценки величин β и θ , положим $M = M_g$ и, кроме того, зададим $h = 0.652$.

2.1. Соотношение для расчета параметра Γ

Для того чтобы воспользоваться выражениями (3) и (4), необходимо сначала рассчитать применительно к данному ЛГ суммарные потери Γ . Будем считать, что резонатор прибора образован двумя плоскими сигнальными зеркалами (3_1 , 3_2) и двумя установленными на пьезокорректорах сферическими зеркалами (3_3 , 3_4) с радиусом кривизны $R = 1000$ мм (зеркала нумеруются по часовой стрелке). Для плоских зеркал 3_1 и 3_2 заданы следующие энергетические параметры: интегральный коэффициент светорассеяния K_{scat}^f в полный телесный угол 4π ср, потери на поглощение Γ_{absorp}^f и полезные потери на пропускание Γ_{transm}^f . Для сферических зеркал 3_3 и 3_4 заданы интегральный коэффициент светорассеяния K_{scat}^s и потери на поглощение Γ_{absorp}^s . Пусть $K_{\text{scat}}^f = 5 \times 10^{-6}$, $\Gamma_{\text{absorp}}^f = 55 \times 10^{-6}$, $\Gamma_{\text{transm}}^f = 60 \times 10^{-6}$, $K_{\text{scat}}^s = 10 \times 10^{-6}$, $\Gamma_{\text{absorp}}^s = 50 \times 10^{-6}$. Тогда, пренебрегая малыми дифракционными потерями, обусловленными наличием в резонаторе ЛГ апертурной диафрагмы, искомым формулу для расчета Γ запишем в виде

$$\Gamma = 2(K_{\text{scat}}^f + \Gamma_{\text{absorp}}^f + \Gamma_{\text{transm}}^f) + 2(K_{\text{scat}}^s + \Gamma_{\text{absorp}}^s). \quad (6)$$

При заданных параметрах зеркал из (6) находим $\Gamma = 360 \times 10^{-6}$.

2.2. Соотношения для расчета параметров r_1 , r_2 и ε_{12}

Теперь необходимо получить выражения для расчета величин r_1 , r_2 и ε_{12} . Эти выражения должны обеспечивать возможность моделирования ситуации, в которой в рассматриваемом ЛГ имеет место асимметрия ($r_1 \neq r_2$) линейной связи ВВ. Асимметрию связи волн в данном приборе можно реализовать, например, посредством одинаковых встречнонаправленных управляемых перемещений сферических зеркал, когда зеркало 3_4 выдвигается из резонатора на расстояние w (направление такого перемещения условимся считать положительным), а зеркало 3_3 – наоборот – вдвигается в резонатор на точно такое же расстояние. Отметим, что периметр L осевого контура [22, 23] резонатора ЛГ остается при этом неизменным и равным своему исходному значению $4l$, однако геометрическая

форма этого контура претерпевает изменения: из квадратной она превращается в почти ромбовидную, вытянутую вдоль диагонали, соединяющей зеркала \mathcal{Z}_2 и \mathcal{Z}_4 . (Напомним, что осевой контур резонатора ЛГ – это продольная ось симметрии гауссова пучка рабочей моды TEM_{00} прибора, определяющая в любом произвольном его поперечном сечении центр светового пятна этого пучка.)

Применительно к данному резонатору ЛГ для расчета комплексных интегральных коэффициентов $r_j \exp(i\varepsilon_j)$ линейной связи **ВВ** имеем выражение

$$\begin{aligned} \frac{L}{c} r_j \exp(i\varepsilon_j) = & a_f \left\{ \exp\left[i\left(\frac{\pi}{2} - \chi_f \pm \varphi_1\right)\right] + \exp\left[i\left(\frac{\pi}{2} - \chi_f \pm \varphi_2\right)\right] \right\} \\ & + a_s \left\{ \exp\left[i\left(\frac{\pi}{2} - \chi_s \pm \varphi_3\right)\right] + \exp\left[i\left(\frac{\pi}{2} - \chi_s \pm \varphi_4\right)\right] \right\} \\ & + b_f [\exp(\pm i\varphi_1) + \exp(\pm i\varphi_2)] \\ & + b_s [\exp(\pm i\varphi_3) + \exp(\pm i\varphi_4)], \end{aligned} \quad (7)$$

которое описывает результат суммирования по всем четырем зеркалам комплексных локальных коэффициентов связи этих волн. (Здесь и далее верхние арифметические знаки в формулах соответствуют $j = 1$, а нижние – $j = 2$.)

Выражение (7) отличается от известных из работ [1–4, 10, 12, 14, 16, 21, 24–38] аналогичных по структуре соотношений тем, что помимо интегрального коэффициента светорассеяния каждого из зеркал учитывает также его потери на поглощение и пропускание. Второй особенностью этого выражения является то, что оно предсказывает существенно иную, чем это следует, например, из [16, 25, 29], зависимость величин r_1 , r_2 (и, соответственно, $\Omega_{(+)}$, $\Omega_{(-)}$, $\Omega_{(0)}$, Ω_s) от радиуса кривизны сферических зеркал (что качественно находится в согласии с известными из работы [39] экспериментальными данными, полученными для трехзеркального ЛГ).

Рассмотрим выражение (7) более подробно. В его правой части фигурируют две группы параметров. Параметры первой группы – a_f, χ_f, b_f и a_s, χ_s, b_s характеризуют индивидуальные свойства соответственно плоских и сферических зеркал. Параметры же второй группы – фазовые углы φ_n ($n = 1, 2, 3, 4$) – описывают влияние одинаковых встречнонаправленных управляемых перемещений сферических зеркал.

Для расчета параметров первой группы в правой части (7) воспользуемся феноменологическими формулами, которые были предложены в работе [7]:

$$\begin{aligned} a_f &= \frac{1}{2} \theta_f \sqrt{K_{\text{scat}}^f}, \quad \chi_f = \arcsin \sqrt{K_{\text{scat}}^f}, \\ b_f &= \frac{1}{2} \theta_f (\Gamma_{\text{absorp}}^f + \Gamma_{\text{transm}}^f), \\ a_s &= \frac{1}{2} \theta_s \sqrt{K_{\text{scat}}^s}, \quad \chi_s = \arcsin \sqrt{K_{\text{scat}}^s}, \\ b_s &= \frac{1}{2} \theta_s \Gamma_{\text{absorp}}^s, \quad \theta_f = w_f/L, \quad w_f = \sqrt{w_f^{(x)} w_f^{(y)}}, \\ \theta_s &= w_s/L, \quad w_s = \sqrt{w_s^{(x)} w_s^{(y)}}, \end{aligned} \quad (8)$$

$$\begin{aligned} w_f^{(z)} &= \left(\frac{2\lambda l}{\pi}\right)^{1/2} \left[\frac{(4 - 7\zeta + 2\zeta^2)^2}{4 - (2 - 8\zeta + 3\zeta^2)^2} \right]^{1/4}, \\ w_s^{(z)} &= \left(\frac{2\lambda l}{\pi}\right)^{1/2} \left[\frac{(4 - 3\zeta)^2}{4 - (2 - 8\zeta + 3\zeta^2)^2} \right]^{1/4}. \end{aligned}$$

При использовании двух последних выражений для оценки величин $w_f^{(z)}$, $w_s^{(z)}$ необходимо следовать такому правилу: если верхний индекс $z = x$, тогда $\zeta = \xi = pl$, где $p = 2(\sqrt{2}/R)$; если же верхний индекс $z = y$, тогда $\zeta = \eta = ql$, где $q = \sqrt{2}/R$. Здесь p и q – оптические силы сферических зеркал соответственно в осевой и сагиттальной плоскостях, а ξ и η – малые безразмерные параметры, введенные для сокращения записи.

В формулах (8) a_f и a_s – модули локальных комплексных безразмерных коэффициентов связи **ВВ** через обратное рассеяние излучения соответственно на плоских и сферических зеркалах; χ_f и χ_s – «углы потерь» на рассеяние на этих зеркалах; b_f – модули локальных комплексных безразмерных коэффициентов связи **ВВ** через поглощение и пропускание излучения на плоских зеркалах; b_s – модули локальных комплексных безразмерных коэффициентов связи волн через поглощение на сферических зеркалах; w_f и w_s – эффективные полуширины гауссова пучка рабочей моды ЛГ в его сечении, где расположены соответственно плоские и сферические зеркала; $w_f^{(x)}$, $w_s^{(x)}$ и $w_f^{(y)}$, $w_s^{(y)}$ – полуширины гауссова пучка в осевой плоскости xz и сагиттальной плоскости yz в указанных сечениях; θ_f и θ_s – половины углов, под которыми видны световые пятна диаметром $2w_f$ и $2w_s$ гауссова пучка на поверхностях соответственно плоских и сферических зеркал при условии, что они наблюдаются из центров этих же зеркал с расстояния, равного L , в ситуации, когда осевой контур резонатора ЛГ развернут в прямую линию. При заданных параметрах зеркал из (8) вытекают следующие численные оценки: $p = 0.0028 \text{ мм}^{-1}$, $q = 0.0014 \text{ мм}^{-1}$, $\xi = 0.14$, $\eta = 0.07$, $a_f = 1.15 \times 10^{-6}$, $a_s = 1.72 \times 10^{-6}$, $\chi_f = 461''$, $\chi_s = 652''$, $b_f = 5.91 \times 10^{-8}$, $b_s = 2.72 \times 10^{-8}$, $w_f = 0.205 \text{ мм}$, $w_s = 0.218 \text{ мм}$, $w_f^{(x)} = 0.186 \text{ мм}$, $w_s^{(x)} = 0.202 \text{ мм}$, $w_f^{(y)} = 0.227 \text{ мм}$, $w_s^{(y)} = 0.235 \text{ мм}$, $\theta_f = 212''$, $\theta_s = 225''$.

Для расчета параметров второй группы в правой части (7) воспользуемся соотношением

$$\varphi_n = \frac{4\pi}{\lambda} S_n, \quad (9)$$

где S_n ($n = 1, 2, 3, 4$) – измеренное вдоль осевого контура (по часовой стрелке) расстояние между плоскостью отсчета (расположенной в начале координат) и центром зеркала \mathcal{Z}_n . Начало координат выбирается на поверхности зеркала \mathcal{Z}_1 в точке, в которой находится центр светового пятна гауссова пучка (именно в этой точке осевой контур соприкасается с поверхностью зеркала \mathcal{Z}_1 и отражается от нее).

Для оценки величин S_n ($n = 1, 2, 3, 4$) воспользуемся формулой

$$S_n = -t_n \sin \theta_n + \sum_{m=1}^n L_{m-1}^{(m)}, \quad (10)$$

где $L_0^{(1)} = 0$, а $L_{m-1}^{(m)}$ – длина плеча резонатора ЛГ между зеркалами \mathcal{Z}_{m-1} и \mathcal{Z}_m (представляет собой измеренное вдоль осевого контура расстояние между центрами световых пя-

тен гауссова пучка на поверхностях этих зеркал); t_n – смещение центра светового пятна гауссова пучка на поверхности зеркала Z_n относительно его центра (отсчитывается в осевой плоскости вправо); θ_n – половина угла между плечами резонатора ЛГ при зеркале Z_n (в данном случае $\theta_n = \pi/4$). Из (10) следует, что

$$\begin{aligned} S_1 &= -(\sqrt{2}/2)t_1, \quad S_2 = -(\sqrt{2}/2)t_2 + L_1^{(2)}, \\ S_3 &= -(\sqrt{2}/2)t_3 + L_1^{(2)} + L_2^{(3)}, \\ S_4 &= -(\sqrt{2}/2)t_4 + L_1^{(2)} + L_2^{(3)} + L_3^{(4)}. \end{aligned} \quad (11)$$

Методики расчета величин $L_{m-1}^{(m)}$ и t_n для плоских N -угольных разъюстированных (т.е. со смещенными зеркалами) резонаторов ЛГ произвольной (плоской) формы, содержащих в общем случае плоскопараллельные пластины в плечах, предложены соответственно в работах [40] и [41]. На основе этих методик применительно к данному резонатору ЛГ для рассматриваемой ситуации, когда его сферические зеркала совершают одинаковые встречнонаправленные управляемые перемещения на расстояния w , для указанных величин можно получить выражения

$$\begin{aligned} L_1^{(2)} &= L_3^{(4)} = l, \quad L_2^{(3)} = l + \sqrt{2} \frac{\xi}{8 - 3\xi} w, \\ t_1 = t_2 &= -\frac{4 - \xi}{8 - 3\xi} w, \quad t_3 = t_4 = \frac{4}{8 - 3\xi} w, \end{aligned} \quad (12)$$

с учетом которых из (11) имеем

$$\begin{aligned} S_1 &= (\sqrt{2}/2) \frac{4 - \xi}{8 - 3\xi} w, \quad S_2 = l + (\sqrt{2}/2) \frac{4 - \xi}{8 - 3\xi} w, \\ S_3 &= 2l - (\sqrt{2}/2) \frac{4 - 2\xi}{8 - 3\xi} w, \quad S_4 = 3l - (\sqrt{2}/2) \frac{4 - 2\xi}{8 - 3\xi} w. \end{aligned} \quad (13)$$

С целью максимального упрощения итоговых расчетных формул будем считать, что на длине l каждого плеча резонатора ЛГ укладывается целое число длин волн λ . Тогда в выражениях (13) величины l можно опустить и на основании (9) записать для φ_n соотношения

$$\varphi_1 = \varphi_2 = \varphi_f, \quad \varphi_3 = \varphi_4 = \varphi_s, \quad (14)$$

где

$$\varphi_f = 2\pi \frac{4 - \xi}{8 - 3\xi} \frac{\sqrt{2} w}{\lambda}, \quad \varphi_s = -2\pi \frac{4 - 2\xi}{8 - 3\xi} \frac{\sqrt{2} w}{\lambda} \quad (15)$$

– фазовые углы, зависящие как от встречнонаправленных перемещений w сферических зеркал, так и от параметра ξ , пропорционального их оптической силе p в осевой плоскости.

С учетом (7), (8), (14), (15) выражения для величин r_j , ε_j ($j = 1, 2$) примут вид

$$r_j = 2 \frac{c}{L} \sqrt{A_j^2 + B_j^2}, \quad \varepsilon_j = \frac{\pi}{2} - \arctan \frac{A_j}{B_j}, \quad (16)$$

$$A_j = a_f \sin(\chi_f \mp \varphi_f) + a_s \sin(\chi_s \mp \varphi_s) + b_f \cos \varphi_f + b_s \cos \varphi_s, \quad (17)$$

$$B_j = a_f \cos(\chi_f \mp \varphi_f) + a_s \cos(\chi_s \mp \varphi_s) \pm b_f \sin \varphi_f \pm b_s \sin \varphi_s.$$

Тогда в результате подстановки (17) в (16) получим следующие искомые развернутые соотношения для расчета параметров r_j и ε_{12} :

$$\begin{aligned} r_j &= r_j(\varphi) = 2 \frac{c}{L} \{a_f^2 + a_s^2 + b_f^2 + b_s^2 + 2[a_f b_f \sin \chi_f + \\ &+ a_s b_s \sin \chi_s + b_f b_s \cos \varphi + a_f a_s \cos(\chi_f - \chi_s \mp \varphi) + \\ &+ a_f b_s \sin(\chi_f \mp \varphi) + a_s b_f \sin(\chi_s \pm \varphi)]\}^{1/2}, \end{aligned} \quad (18)$$

$$\varepsilon_{12} = \varepsilon_{12}(\varphi) = \pi - \arctan \frac{N(\varphi)}{D(\varphi)}, \quad (19)$$

$$\begin{aligned} N(\varphi) &= a_f^2 \sin 2\chi_f + a_s^2 \sin 2\chi_s + 2(a_f b_f \cos \chi_f + a_s b_s \cos \chi_s) + \\ &+ 2[a_f a_s \sin(\chi_f + \chi_s) + a_f b_s \cos \chi_f + a_s b_f \cos \chi_s] \cos \varphi, \end{aligned}$$

$$\begin{aligned} D(\varphi) &= a_f^2 \cos 2\chi_f + a_s^2 \cos 2\chi_s - 2(a_f b_f \sin \chi_f + a_s b_s \sin \chi_s) - \\ &- b_f^2 - b_s^2 + 2[a_f a_s \cos(\chi_f + \chi_s) - a_f b_s \sin \chi_f - \\ &- a_s b_f \sin \chi_s - b_f b_s] \cos \varphi, \end{aligned}$$

где

$$\varphi = \varphi_f - \varphi_s = 2\pi(\sqrt{2}w/\lambda) \quad (20)$$

– фазовый угол, зависящий только от встречнонаправленных перемещений w сферических зеркал.

Из анализа выражений (18)–(20) следует, что величины r_1 , r_2 и ε_{12} являются периодическими функциями w с периодом $w_{\text{period}} = (\sqrt{2}/2)\lambda$. Последнее означает, что и параметры $\Omega_{(+)}$, $\Omega_{(-)}$, $\Omega_{(0)}$, Ω_s зоны синхронизации частот ВВ рассматриваемого ЛГ будут также периодическими функциями w с указанным периодом. Кроме того, из анализа (18), (20) вытекает, что в данном приборе линейная связь ВВ будет симметричной ($r_1 = r_2$) лишь в двух частных случаях: $w = 0$, $\varphi = 0$ (максимальная степень связи) и $w = (\sqrt{2}/4)\lambda$, $\varphi = \pi$ (минимальная степень связи).

Полученные в этом разделе соотношения (6), (8), (18)–(20) для расчета параметров Γ , r_1 , r_2 , ε_{12} рассматриваемого ЛГ позволяют перейти теперь к количественной оценке зависимости величин $\Omega_{(+)}$, $\Omega_{(-)}$, $\Omega_{(0)}$, Ω_s от усиления g активной среды.

3. Количественная оценка зависимости параметров зоны синхронизации частот встречных волн ЛГ от усиления активной среды

3.1. Симметричная линейная связь ВВ

Рассмотрим сначала частный случай симметричной ($r_1 = r_2$) линейной связи ВВ, причем при условии, что она проявляется в максимальной степени. Такая ситуация будет иметь место при исходной геометрии резонатора ЛГ, когда $w = 0$ и $\varphi = 0$. В этом случае из (18), (19) вытекают расчетные соотношения [7]

$$\begin{aligned} r_1 = r_2 = r_j(0) &= 2 \frac{c}{L} \{a_f^2 + a_s^2 + 2[a_f a_s \cos(\chi_f - \chi_s) + \\ &+ (a_f \sin \chi_f + a_s \sin \chi_s)(b_f + b_s)] + (b_f + b_s)^2\}^{1/2}, \end{aligned} \quad (21)$$

$$\varepsilon_{12} = \varepsilon_{12}(0) = \pi - \arctan \frac{N(0)}{D(0)}, \quad (22)$$

$$N(0) = a_f^2 \sin 2\chi_f + a_s^2 \sin 2\chi_s + 2[a_f a_s \sin(\chi_f + \chi_s) + (a_f \cos \chi_f + a_s \cos \chi_s)(b_f + b_s)],$$

$$D(0) = a_f^2 \cos 2\chi_f + a_s^2 \cos 2\chi_s + 2[a_f a_s \cos(\chi_f + \chi_s) - (a_f \sin \chi_f + a_s \sin \chi_s)(b_f + b_s)] - (b_f + b_s)^2,$$

из которых при заданных выше параметрах зеркал получим следующие численные оценки: $r_1 = r_2 = 8616 \text{ c}^{-1}$, $(L/c)r_1 = (L/c)r_2 = 5.74 \times 10^{-6}$, $\varepsilon_{12} = 176.24^\circ$.

Зависимость величины Ω_s от параметра относительного возбуждения $N_{\text{rel}} = g/\Gamma$ (при $\Gamma = 360 \times 10^{-6}$), построенная на основе выражений (3), (4), (6), (8) с учетом найденных по формулам (21), (22) значений r_1 , r_2 и ε_{12} , приведена на рис.1. Видно, что при увеличении усиления $g = \Gamma N_{\text{rel}}$ активной среды от минимального ($2 \times 360 \times 10^{-6}$) до максимального ($8 \times 360 \times 10^{-6}$) значения полуширина Ω_s зоны синхронизации частот ВВ рассматриваемого ЛГ уменьшается (примерно по гиперболическому закону), асимпто-

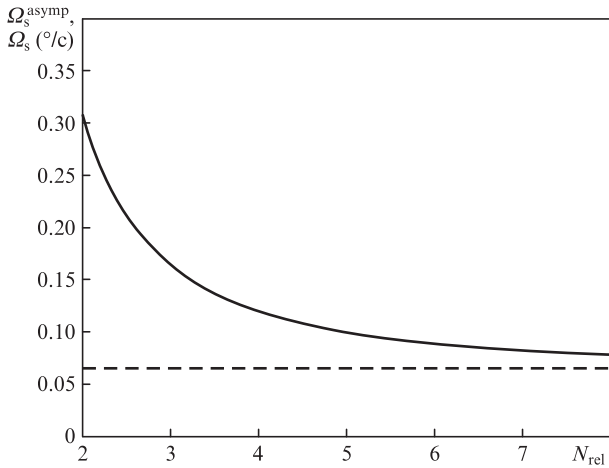


Рис.1. Зависимость величины Ω_s от N_{rel} при $w = 0$. Горизонтальная штриховая линия – асимптота Ω_s^{asympt} .

тически приближаясь к установившемуся конечному значению $\Omega_s^{\text{asympt}} = 0.065 \text{ }^\circ/\text{c}$ (нижняя горизонтальная штриховая линия), которое было рассчитано по формуле (5). Такое поведение Ω_s качественно соответствует экспериментальным данным работ [18, 19] и, в особенности, [20] (см. рис.1 в [20]), которые были получены для ЛГ с трехзеркальными равносторонними резонаторами.

3.2. Асимметричная линейная связь ВВ

Теперь рассмотрим общий случай асимметричной ($r_1 \neq r_2$) линейной связи ВВ. Такая ситуация в данном ЛГ будет иметь место при $w \neq 0$ и $w \neq (\sqrt{2}/4)\lambda$. На рис.2 представлены зависимости, построенные на основе формул (3) с учетом соотношений (4)–(6), (8), (18)–(20). Эти рисунки иллюстрируют зависимость параметров $\Omega_{(+)}$, $\Omega_{(-)}$, $\Omega_{(0)}$, Ω_s , а также Ω_s^{asympt} (нижняя штриховая кривая) от величины w , изменяющейся в диапазоне $0 - w_{\text{period}}$. Зависимости на рис.2,а соответствуют минимальному значению параметра относительного возбуждения $N_{\text{rel}} = 2$, когда усиление g активной среды составляет $2 \times 360 \times 10^{-6}$. Зависимости на рис.2,б соответствуют максимальному значению параметра $N_{\text{rel}} = 8$, когда усиление активной среды составляет $8 \times 360 \times 10^{-6}$.

Из анализа приведенных на рис.2 зависимостей вытекает следующее: 1) в общем случае асимметричной линейной связи ВВ рассматриваемого ЛГ левая и правая границы зоны синхронизации частот этих волн расположены относительно начала координат на разных расстояниях, вследствие чего центр зоны оказывается смещенным вдоль оси угловой скорости Ω ; 2) координаты этих границ, так же как и координата центра зоны, являются периодическими функциями одинаковых встречнонаправленных управляемых перемещений сферических зеркал. Эти два обстоятельства качественно соответствуют экспериментальным данным работы [21] (см. рис.6 в [21]), которые были получены для ЛГ с трехзеркальным равносторонним резонатором. Кроме того, из анализа зависимостей также следует, что при увеличении усиления активной среды смещение центра зоны синхронизации и ее полуширина уменьшаются.

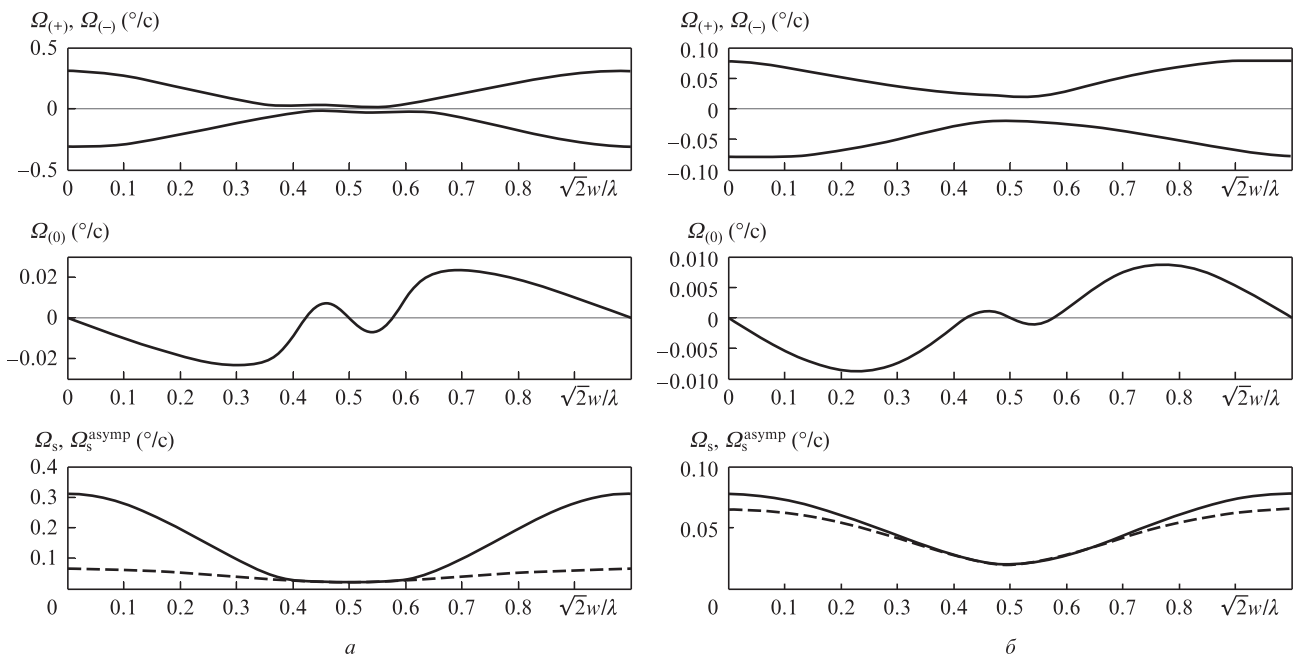


Рис.2. Зависимости величин $\Omega_{(+)}$, $\Omega_{(-)}$, $\Omega_{(0)}$, Ω_s (сплошные кривые) и Ω_s^{asympt} (штриховые кривые) от w при $N_{\text{rel}} = 2$ (а) и 8 (б).

4. Заключение

В настоящей работе рассмотрен ЛГ с четырехзеркальным квадратным резонатором, имеющим периметр 20 см. Для этого прибора на основе выражений (3), (4), предложенных в работе [8], и вспомогательных расчетных соотношений (6), (8), (18)–(22), полученных в разд.2, выполнена количественная оценка зависимости параметров $\Omega_{(+)}$, $\Omega_{(-)}$, $\Omega_{(0)}$, Ω_s зоны синхронизации частот ВВ от усиления g активной среды. Эта оценка качественно согласуется с известными из работ [18–21] экспериментальными данными, полученными для гироскопов с трехзеркальными резонаторами.

1. Chow W.W., Gea-Banacloche J., Pedrotti L.M., Sanders V.E., Schleich W., Scully M.O. *Rev. Mod. Phys.*, **57**, 61 (1985).
2. Wilkinson J.R. *Prog. Quantum Electron.*, **11**, 1 (1987).
3. Aronowitz F., in *Optical Gyros and their Application* (Neuilly-sur-Seine, France, RTO AGARDograph 339, 1999).
4. Menegozzi L.N., Lamb W.E., Jr. *Phys. Rev.*, **8**, A2103 (1973).
5. Aronowitz F. *Appl. Opt.*, **11**, 2146 (1972).
6. Aronowitz F., Killpatrick J.E., Callaghan S.P. *IEEE J. Quantum Electron.*, **QE-10**, 201 (1974).
7. Бондаренко Е.А. *Труды VII Международной научно-технической конференции «Гиротехнологии, навигация, управление движением и конструирование авиационно-космической техники»* (Киев, 2009, с. 115–124).
8. Бондаренко Е.А. *Квантовая электроника*, **41**, 824 (2011).
9. Ланда П.С., Ларионцев Е.Г. *Радиотехника и электроника*, **15**, 1214 (1970).
10. Андропова И.А., Берштейн И.Л. *Изв. вузов. Сер. Радиофизика*, **14**, 698 (1971).
11. Ланда П.С. *Оптика и спектроскопия*, **32**, 383 (1972).
12. Зейгер С.Г., Климентович Ю.Л., Ланда П.С., Ларионцев Е.Г., Фрадкин Э.Е. *Волновые и флуктуационные процессы в лазерах* (М.: Наука, 1974).
13. Ланда П.С. *Автоколебания в системах с конечным числом степеней свободы* (М.: Наука, 1980).
14. Rodloff R. *IEEE J. Quantum Electron.*, **QE-23**, 438 (1987).
15. Хромых А.М. *Электронная техника. Сер. Лазерная техника и оптоэлектроника*, вып. 2 (54), 44 (1990).
16. Азарова В.В., Голяев Ю.Д., Дмитриев В.Г. *Квантовая электроника*, **30**, 96 (2000).
17. Бирман А.Я., Петрухин Е.А., Савушкин А.Ф. *Квантовая электроника*, **6**, 2626 (1979).
18. Aronowitz F., Collins R.J. *J. Appl. Phys.*, **41**, 130 (1970).
19. Aronowitz F., Lim W.L. *IEEE J. Quantum Electron.*, **QE-13**, 338 (1977).
20. Chao S., Lim W.L., Hammond J.A. *Proc. SPIE Int. Soc. Opt. Eng.*, **487**, 50 (1984).
21. Kataoka I., Kawahara Y. *Jpn. J. Appl. Phys.*, **25**, 1365 (1986).
22. Ищенко Е.Ф. *ЖПЭС*, **11**, 456 (1969).
23. Ищенко Е.Ф. *Открытые оптические резонаторы* (М.: Сов. радио, 1980).
24. Aronowitz F. *J. Appl. Phys.*, **41**, 2453 (1970).
25. Аронович Ф. В кн.: *Применения лазеров* (М.: Мир, 1974, с. 182–269).
26. Андропова И.А. *Изв. вузов. Сер. Радиофизика*, **17**, 775 (1974).
27. Блажнов Б.А. *ЖПЭС*, **21**, 990 (1974).
28. Haus H.A., Stutz H., Smith I.W. *IEEE J. Quantum Electron.*, **QE-21**, 78 (1985).
29. Stutz H., Dorschner T.A., Holtz M., Smith I.W., in *Laser Handbook* (Amsterdam: North-Holland Publ. Co., 1985, pp 229–332).
30. Stedman G.E., Li Z., Rowe C.H., McGregor A.D., Bilger H.R. *Phys. Rev. A*, **51**, 4944 (1995).
31. Астахов К.В., Голяев Ю.Д., Махин П.В., Мельников А.В., Тихменев Н.В. *Гироскопия и навигация*, №2(9), 25 (1995).
32. Астахов К.В., Батоврин В.К., Голяев Ю.Д., Дроздов М.С., Мельников А.В. *Гироскопия и навигация*, №4(11), 24 (1995).
33. Астахов К.В., Батоврин В.К., Голяев Ю.Д., Дроздов М.С., Мельников А.В., Тихменев Н.В., Яснов С.А. *Труды IV Санкт-Петербургской международной конференции по интегрированным навигационным системам* (С.-Петербург, 1997, с. 146–152).
34. Schreiber U.K., Rowe C.H., Wright D.N., Cooper S.J., Stedman G.E. *Appl. Opt.*, **37**, 8371 (1998).
35. Volk C.H., Gillespie S.C., Mark J.G., Tazartes D.A., in *Optical Gyros and their Application* (Neuilly-sur-Seine, France, RTO AGARDograph 339, 1999).
36. Молчанов А.В., Морозов Д.А., Степанов А.Ю., Чиркин. М.В. *Труды XIV Санкт-Петербургской международной конференции по интегрированным навигационным системам* (С.-Петербург, 2007, с. 38–40).
37. Васин И.А., Молчанов А.В., Морозов Д.А., Чиркин. М.В. *Труды XV Санкт-Петербургской международной конференции по интегрированным навигационным системам* (С.-Петербург, 2008, с. 68–70).
38. Молчанов А.В., Степанов А.Ю., Чиркин. М.В. *Авиакосмическое приборостроение*, №3, 9 (2008).
39. Богданов В.В., Мынбаев Д.К. *Оптика и спектроскопия*, **31**, 101 (1971).
40. Бондаренко Е.А. *Квантовая электроника*, **19**, 171 (1992).
41. Bondarenko E.A., in *Mechanics of Gyroscopic Systems* (Kiev, 2010, Issue 22, pp 22–32).